Dosimétrie autour d'un laser de Ultra Haute Intensité

CEA/DSM/UPSE/SPR/SRL J.M. Fauquant

P. Monot CEA/DSM/IRAMIS/SPAM/ Groupe de physique à haute Intensité

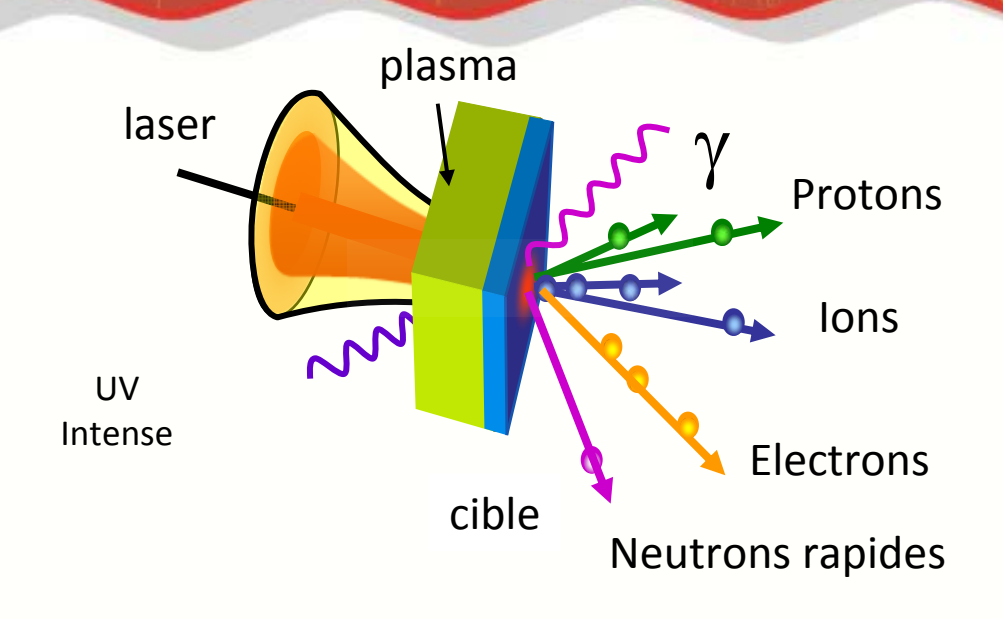




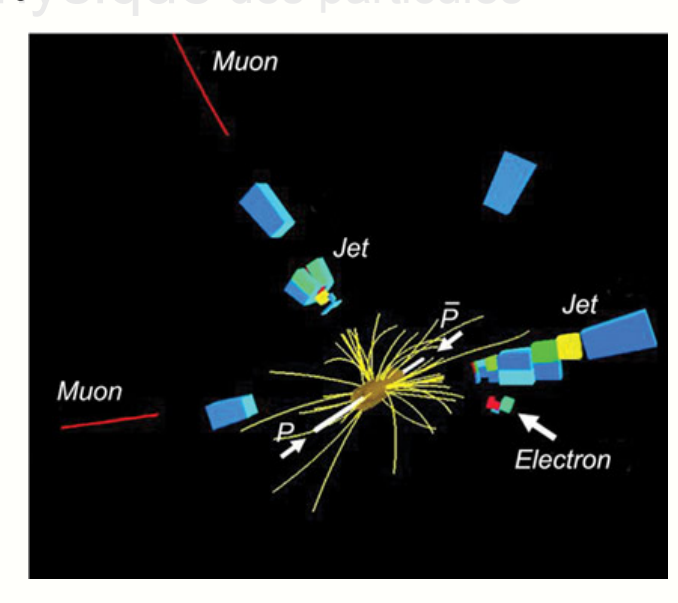
Congrès SFRP du 15 et 16 novembre 2011



Interaction laser-matière à ultra-haute intensité



= physique des particules



Etude de l'émission secondaire

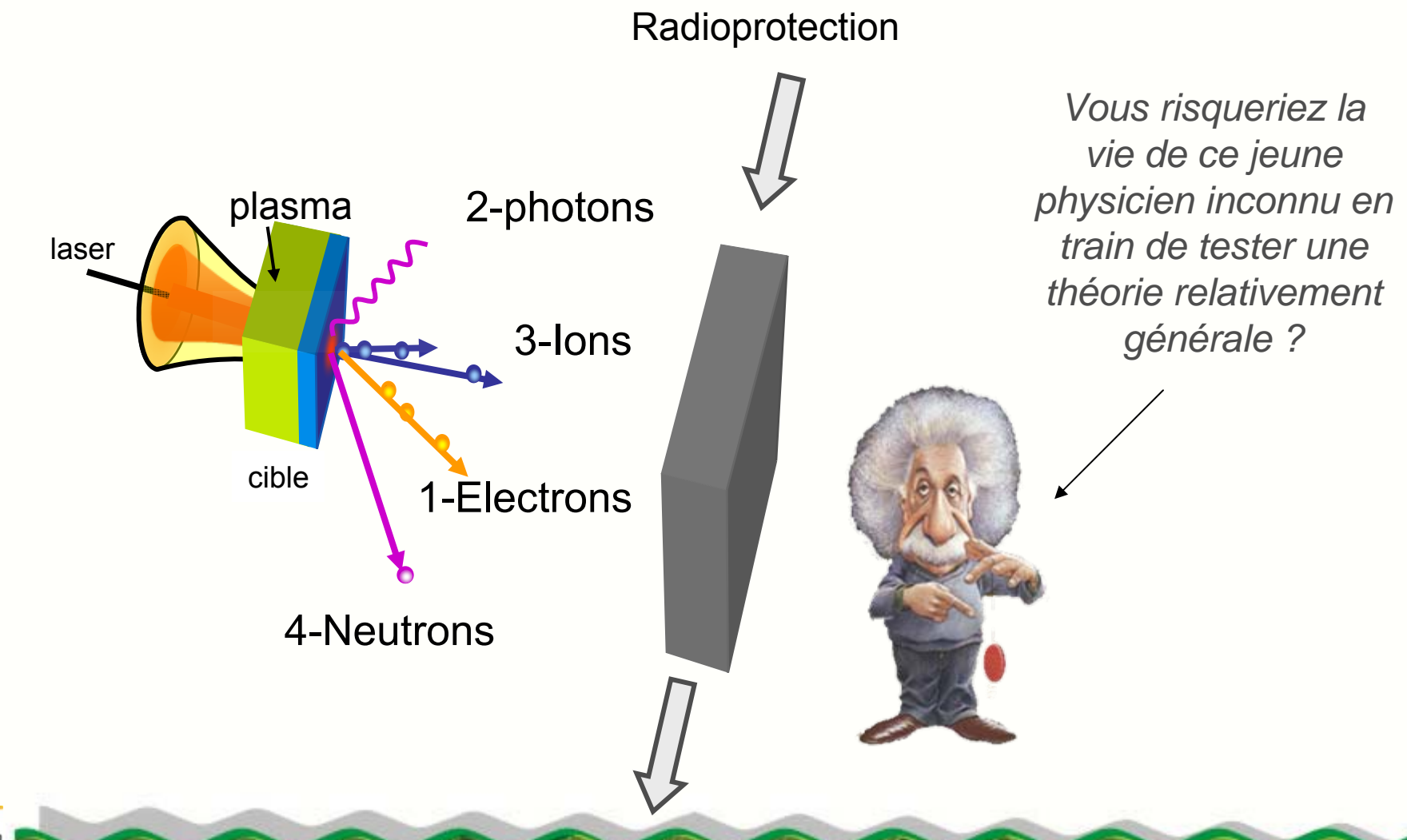
Exploration des mécanismes primordiaux de l'interaction

Les faisceaux de particules héritent des propriétés du laser générateur : brièveté, puissance, cohérence, dimension spatiale

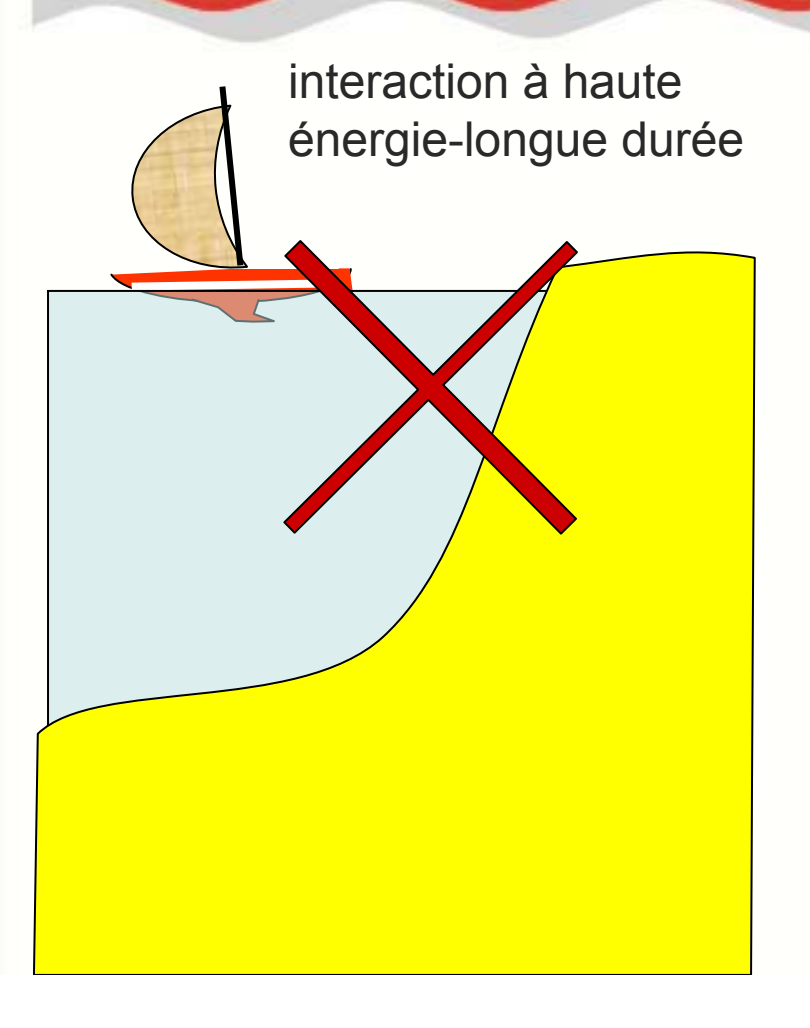
⇒ Applications: radiothérapie, radiolyse...

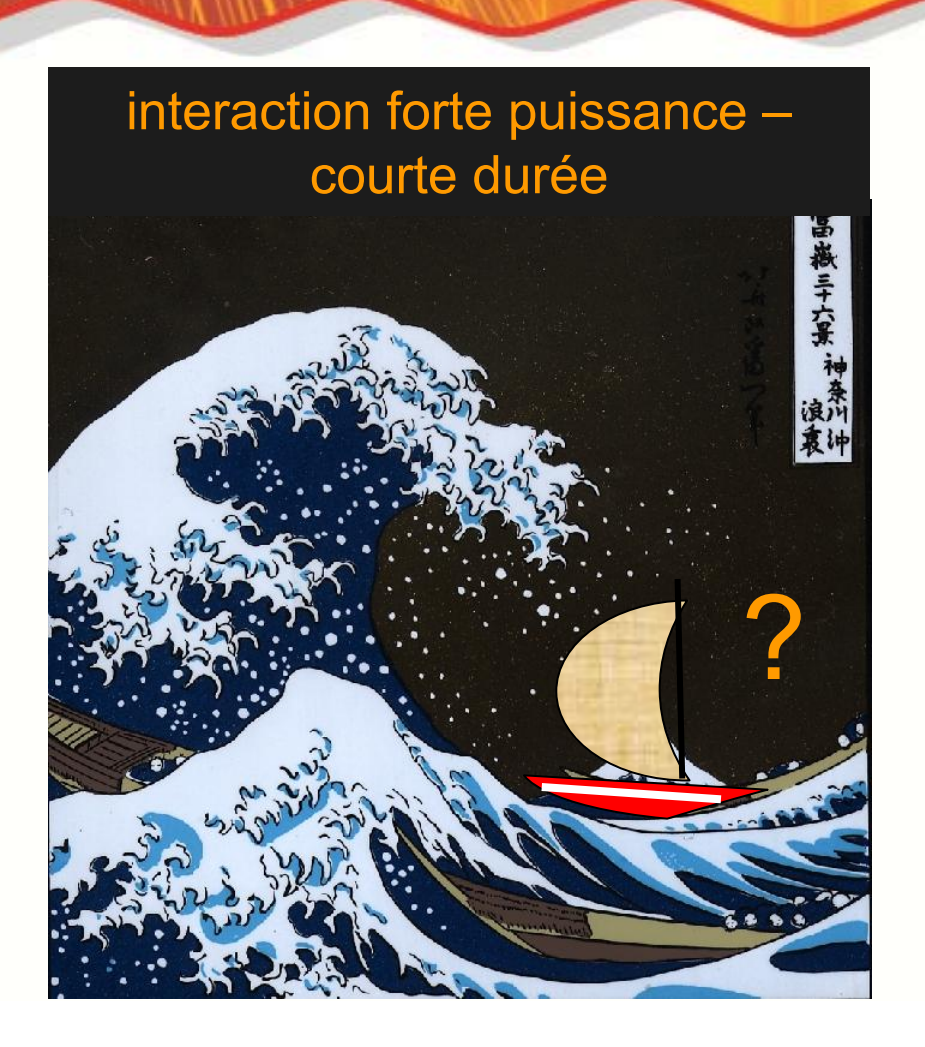


Sources secondaires intenses ⇒ radioprotection









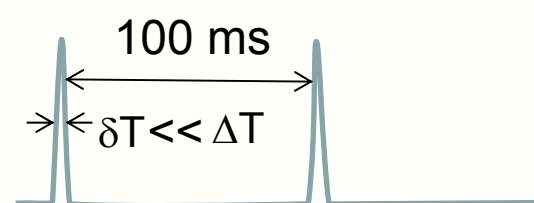
L'outil laser

Puissance 100TW, durée t ≤ 25 fs, intensité 10²⁰ W/cm²

(Eclairement à la surface du soleil = 10⁴W/cm²)



> 10 x capacité mondiale de production de puissance électrique



100 fs

temps



Un laser qui tient dans votre poche! Un laser qui tient dans votre voiture! Un laser qui tient dans votre salon!



Caractéristiques de l'interaction UHI

-Mouvement classique d'oscillation d'un électron dans un champ laser



Onde électromagnétique du laser

électron

$$m\frac{d(V)}{dt} = qE$$

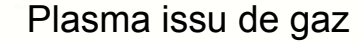
$$E_{\rm osc}$$
 (eV)=1.7x10⁻¹³x I (W/cm²)x λ^2 (µm)

→ Relation directe entre éclairement et énergie communiquée aux électrons du milieu

>10 MeV pour I=10²⁰ W/cm²



Accélération d'électrons





« Sillage laser »

Excitation d'une onde plasma électronique



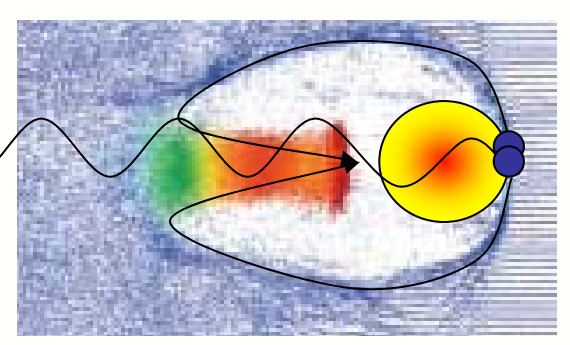
-combinaison d'effets radiaux et longitudinaux

J. Faure et al., Nature 431, 541 (2004)

S.P. Mangles et al., Nature 431, 535 (2004)

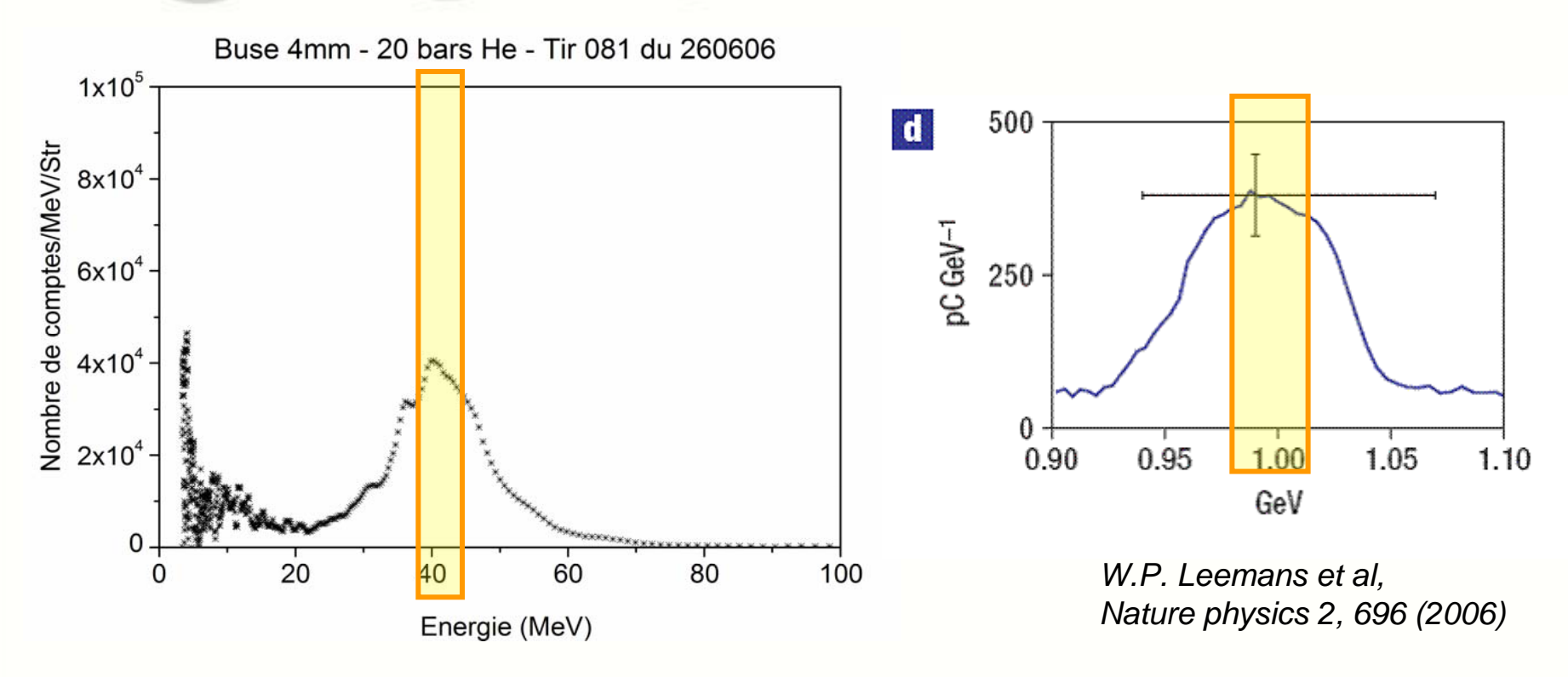
Champ accélérateur :100GV/m: 100 MeV sur 1 mm

(accélérateur conventionnel qq10 MV/m)





Exemples de Spectres électroniques



Très grande sensibilité aux paramètres de l'interaction (puissance laser, durée de l'impulsion, densité et composition du gaz ...)

Lois d'échelle : W. Lu et al., Phys. Rev. ST AB 10, 061301 (2007)



Accélération d'électrons

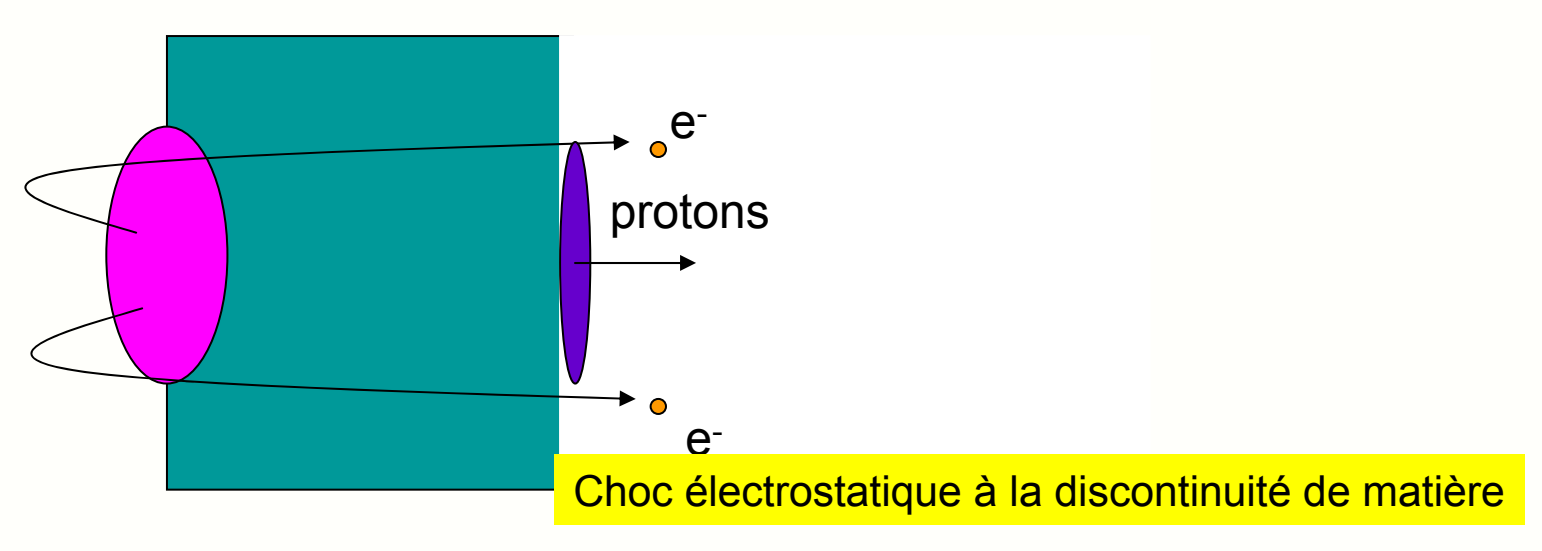




Accélération d'ions

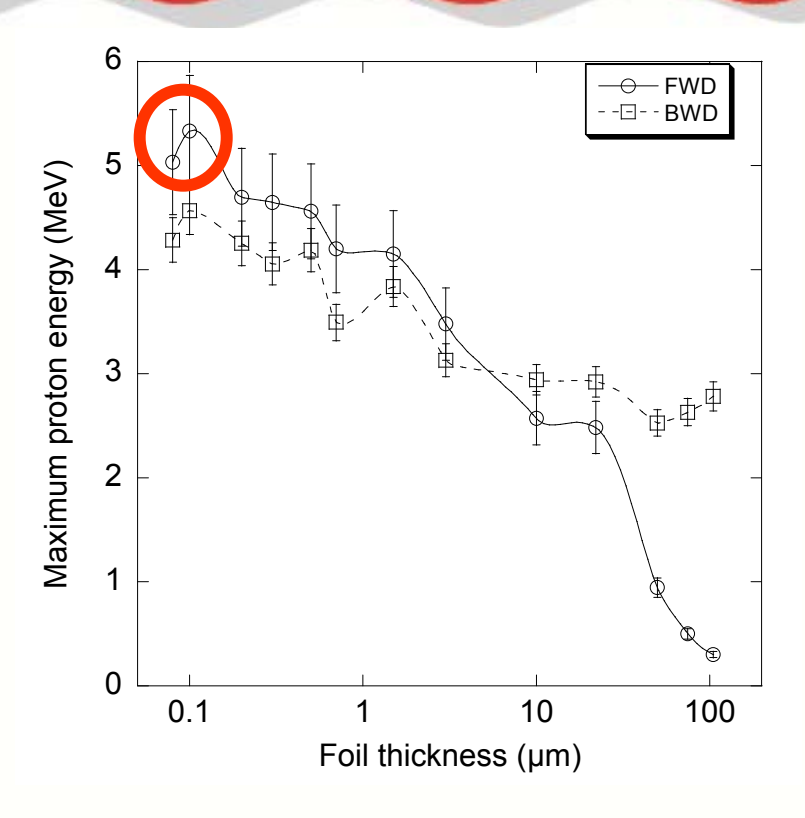
Cible solide plasma

laser





accélération d'ions



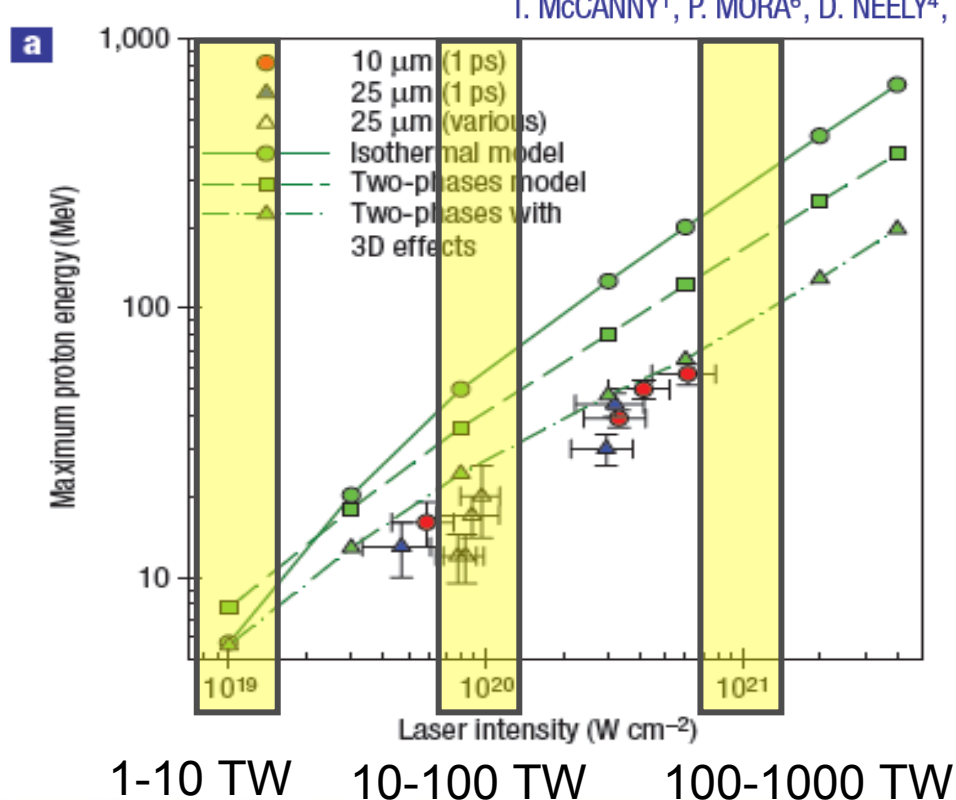
Record aujourd'hui= 120 MeV



Lois d'échelle



L. ROBSON^{1,2}, P. T. SIMPSON³, R. J. CLARKE^{1,4}, K. W. D. LEDINGHAM^{1,2}, F. LINDAU⁵, O. LUNDH⁵, T. McCANNY¹, P. MORA⁶, D. NEELY⁴, C.-G. WAHLSTRÖM⁵, M. ZEPF³ AND P. McKENNA^{1,4*}



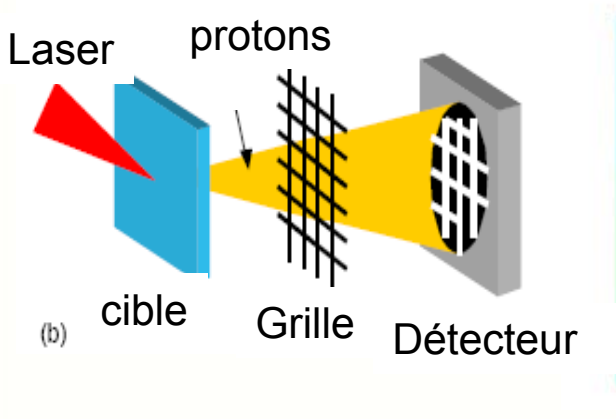
nature physics | VOL 3 | JANUARY 2007 |

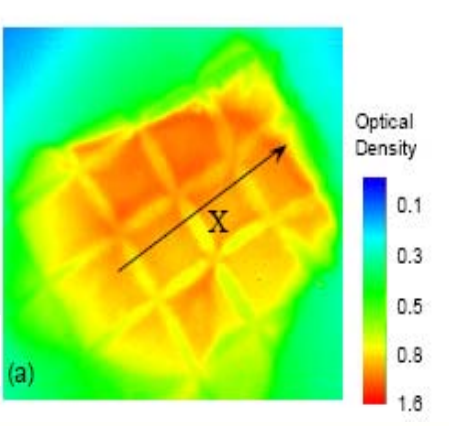


accélération d'ions

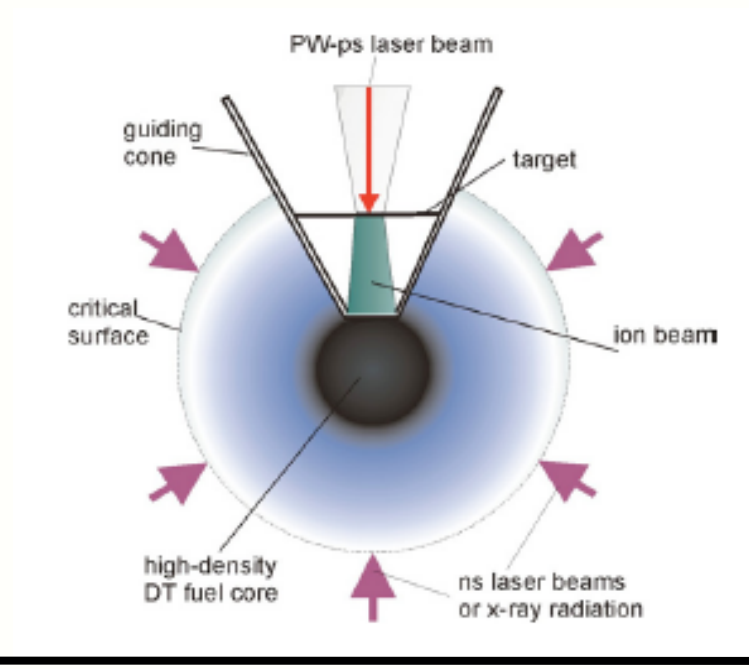
Applications des protons rapides

Radiographie de solides à haute résolution



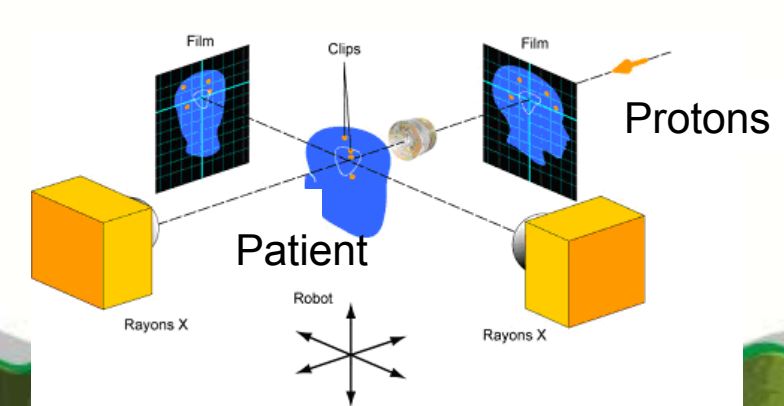


Allumage rapide pour ICF



Applications médicales

-Traitement des tumeurs par prontonthérapie











Aspects dosimétriques

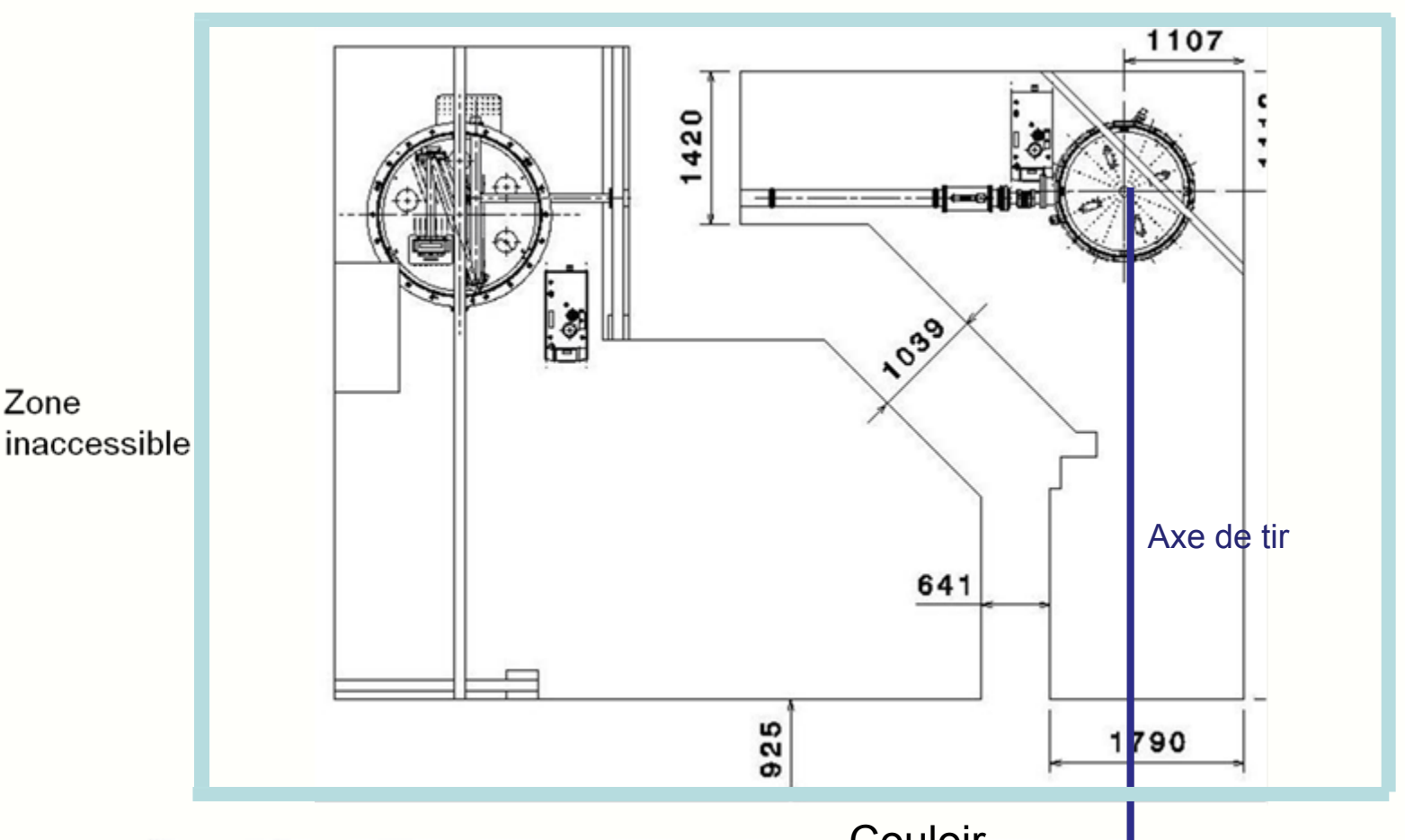
Nombreux paramètres

- Energie transmise par le laser /La longueur d'onde du laser
- L'éclairement (W/cm²)
- La durée du tir (qq 10 fs)
- Fréquence des tirs (Hz)
- Les cibles primaires (production e- ou H+)
- Les cibles secondaires (Z,ép) /tertiaire
- **—** ...
 - \rightarrow UHI 10



UHI 10: L'installation





Zone inaccessible

Couloir



Zone

Les termes sources

Conditions d'expérience

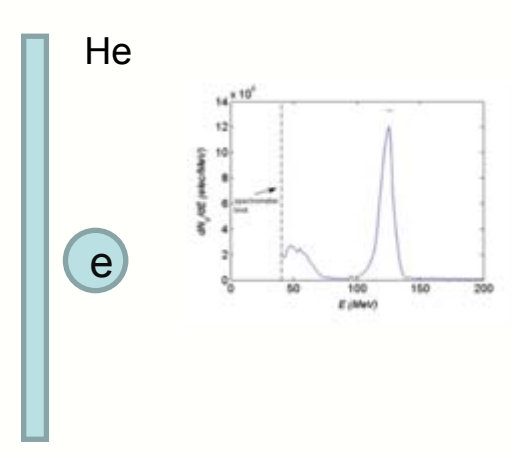
•400 tirs

•Durée de l'impulsion : 60 fs

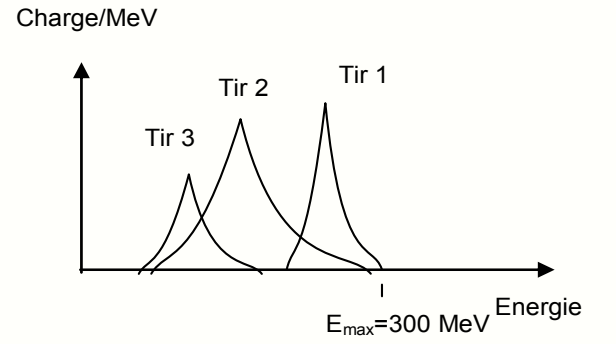
•Intensité: 10¹⁹ W/cm²

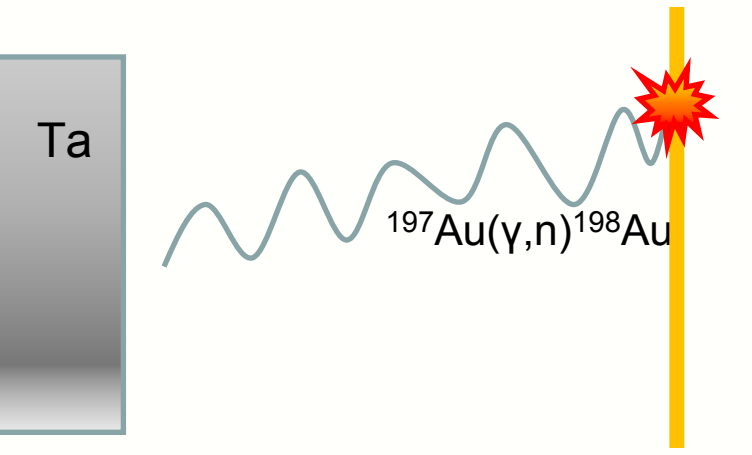
•Longueur d'onde : 800 nm









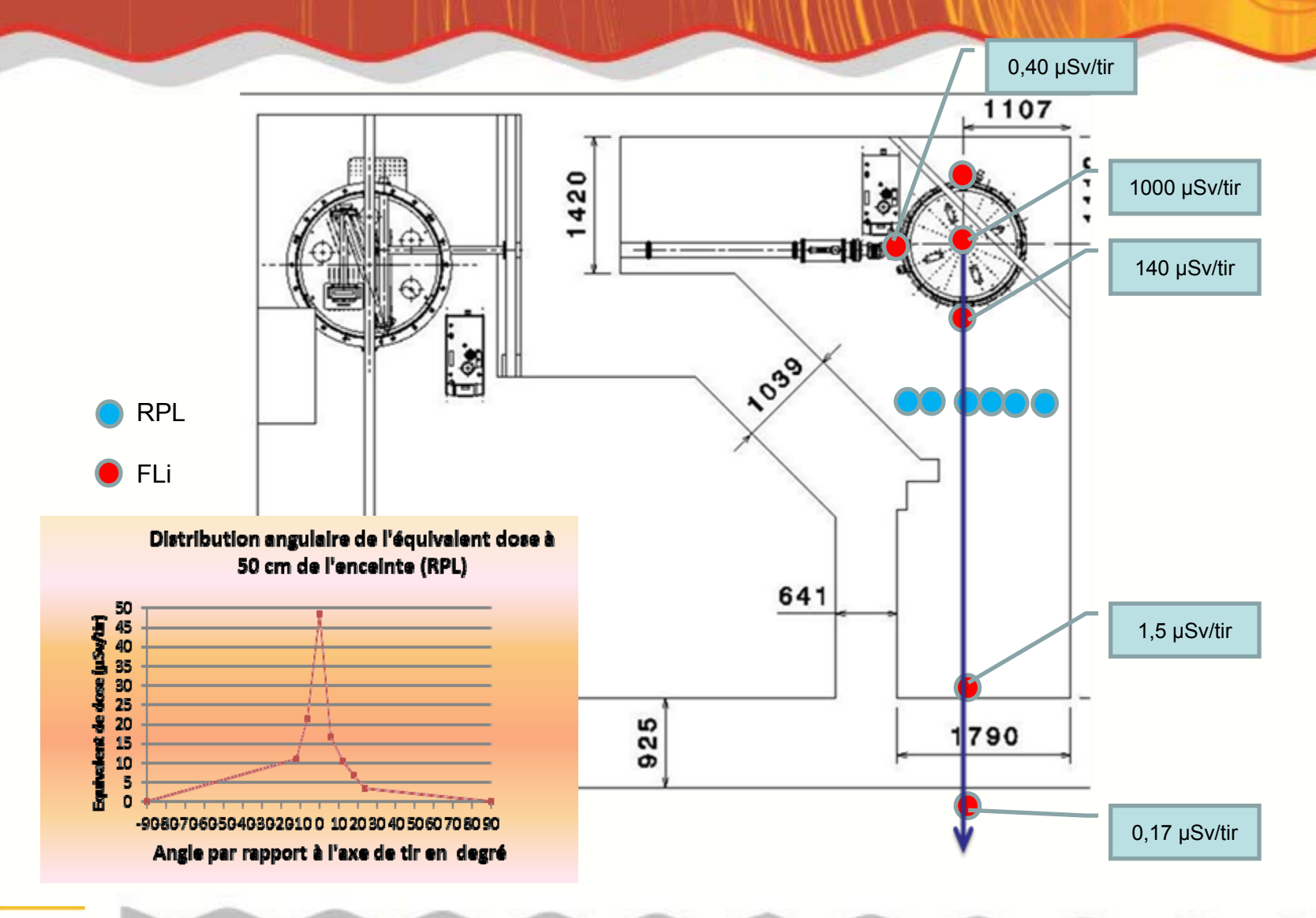


Au

3 108 X/tirs E [8;17] MeV



Résultats dosimétriques





Interprétation des résultats

- ☐ A l'extérieur de la casemate
- 0,17 μSv est une dose intégrée à chaque tir
 - Si tir non pulsé : 80 μSv atteint pour 470 tirs
 - Si tir pulsé à 10 Hz : 80 µSv atteint en 47 s (6 mSv/h)
 - > Zone contrôlée orange
 - > Atténuation nécessaire d'un facteur 1000
- 0,17 µSv est la dose intégrée sur 60 fs
 - Débit équivalent dose instantané ≈ 10¹⁰ Sv/h
 - > zone interdite rouge
- ☐ A l'intérieur de la casemate
 - si pulsé à 10 Hz : DED entre 54 mSv/h et 36 Sv/h
 - Activation (SG)
 - Flux de particules très directif (60°)



Dimensionnement(1)

Le débit de dose instantané

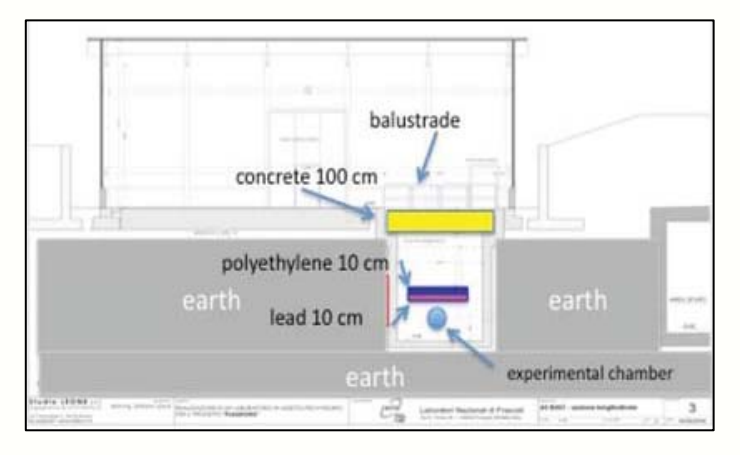
- Peu pris en compte à la conception
- Ecran très épais (ex : 10 m de béton)
- Cout prohibitif limite a l'implantation

– Doit on en tenir compte ?

- Respect de la réglementation
- Effets des rayonnements

–Des solutions

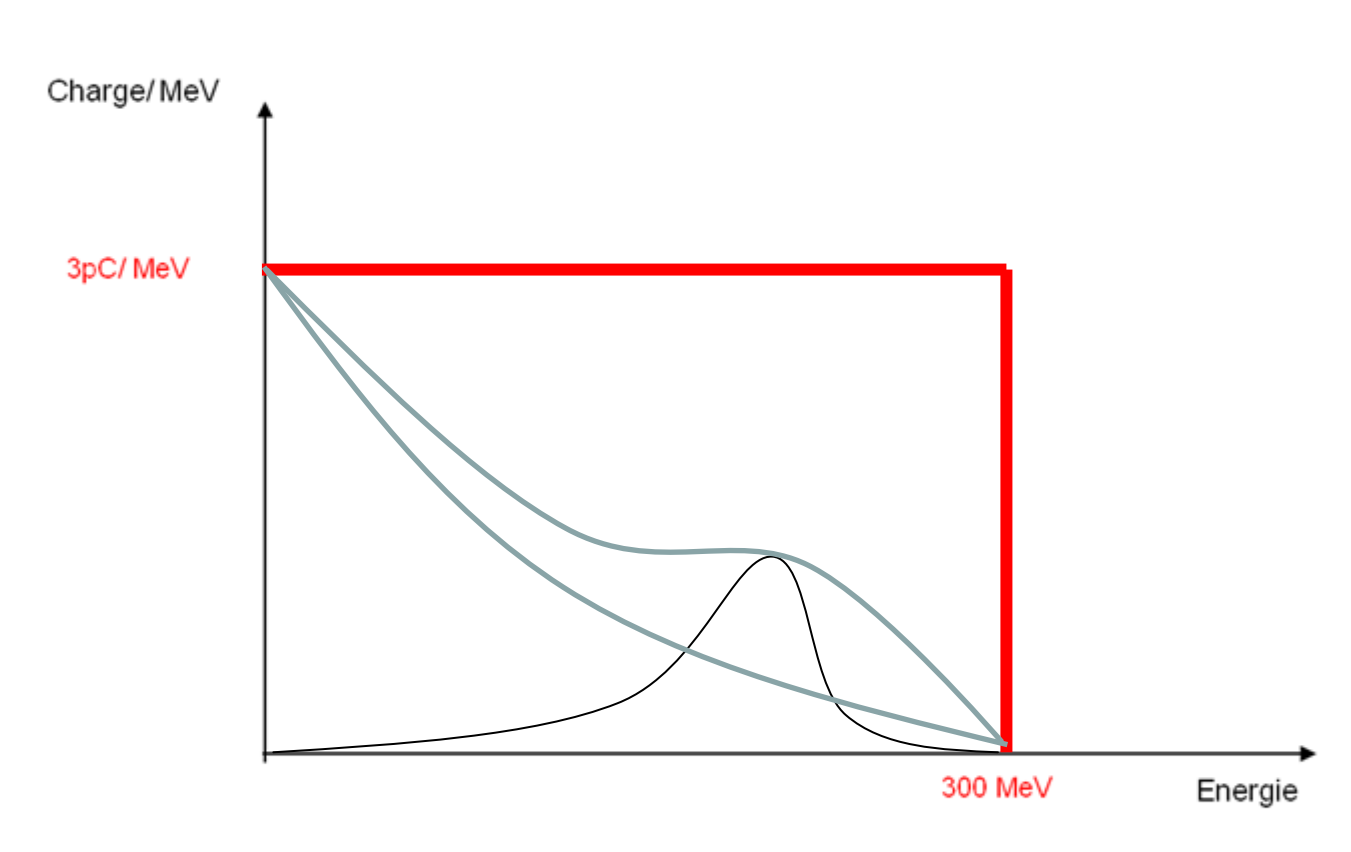
- Enterrer les salles d'expérience
- Diriger le faisceau vers la terre



Installation FLAME - Esposito et Al



Dimensionnement(2)



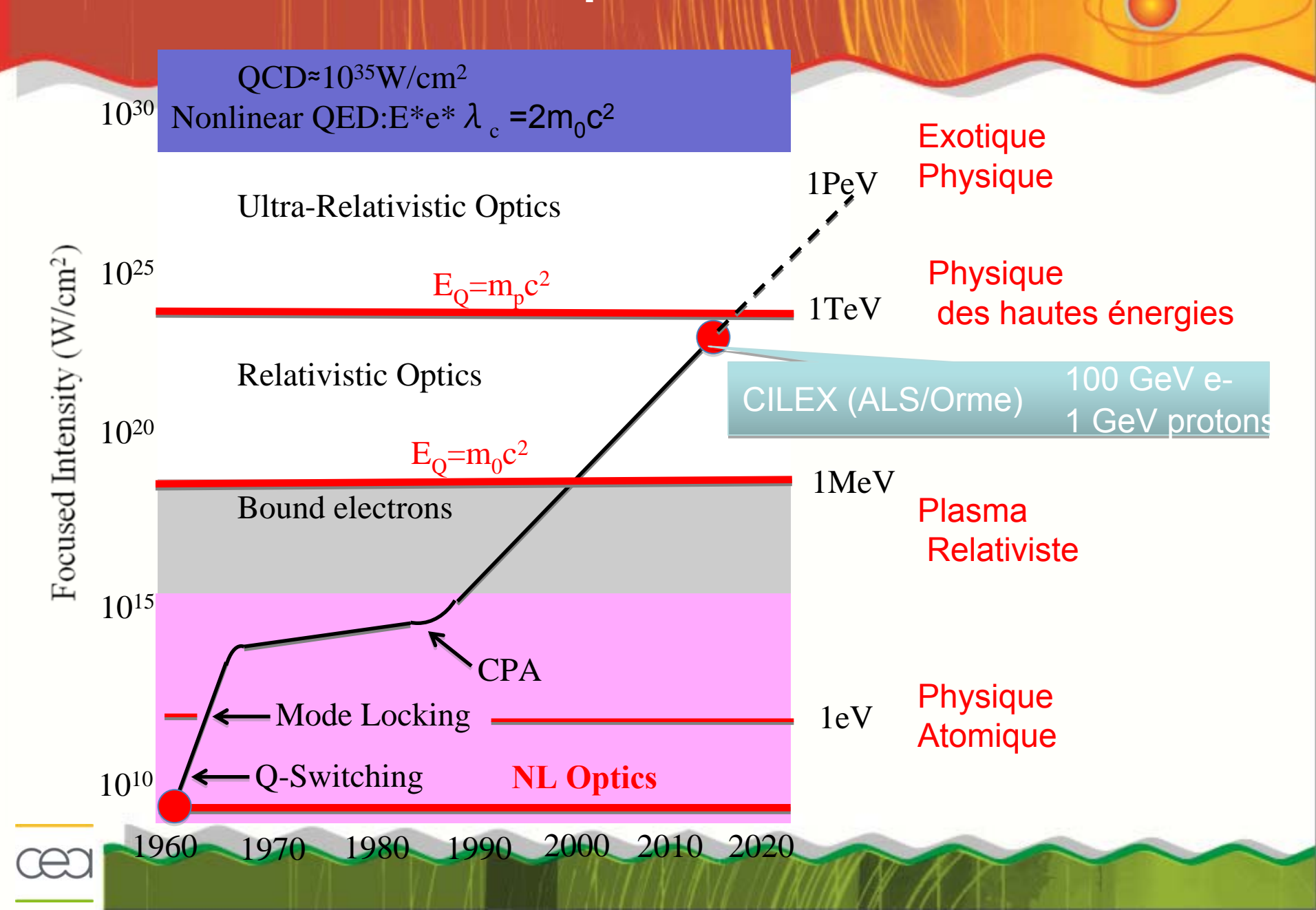


Démarche d'optimisation

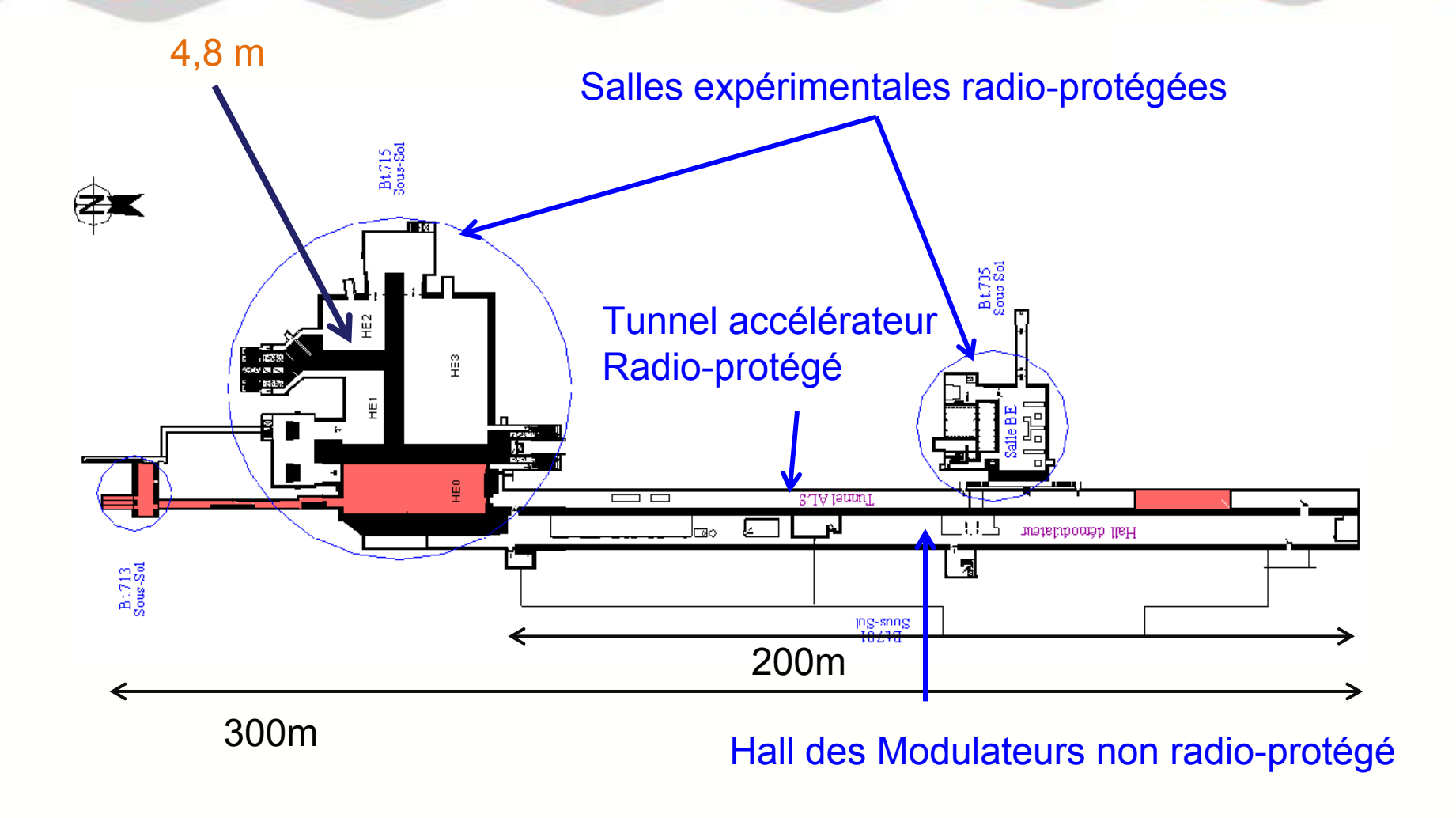




Perspectives



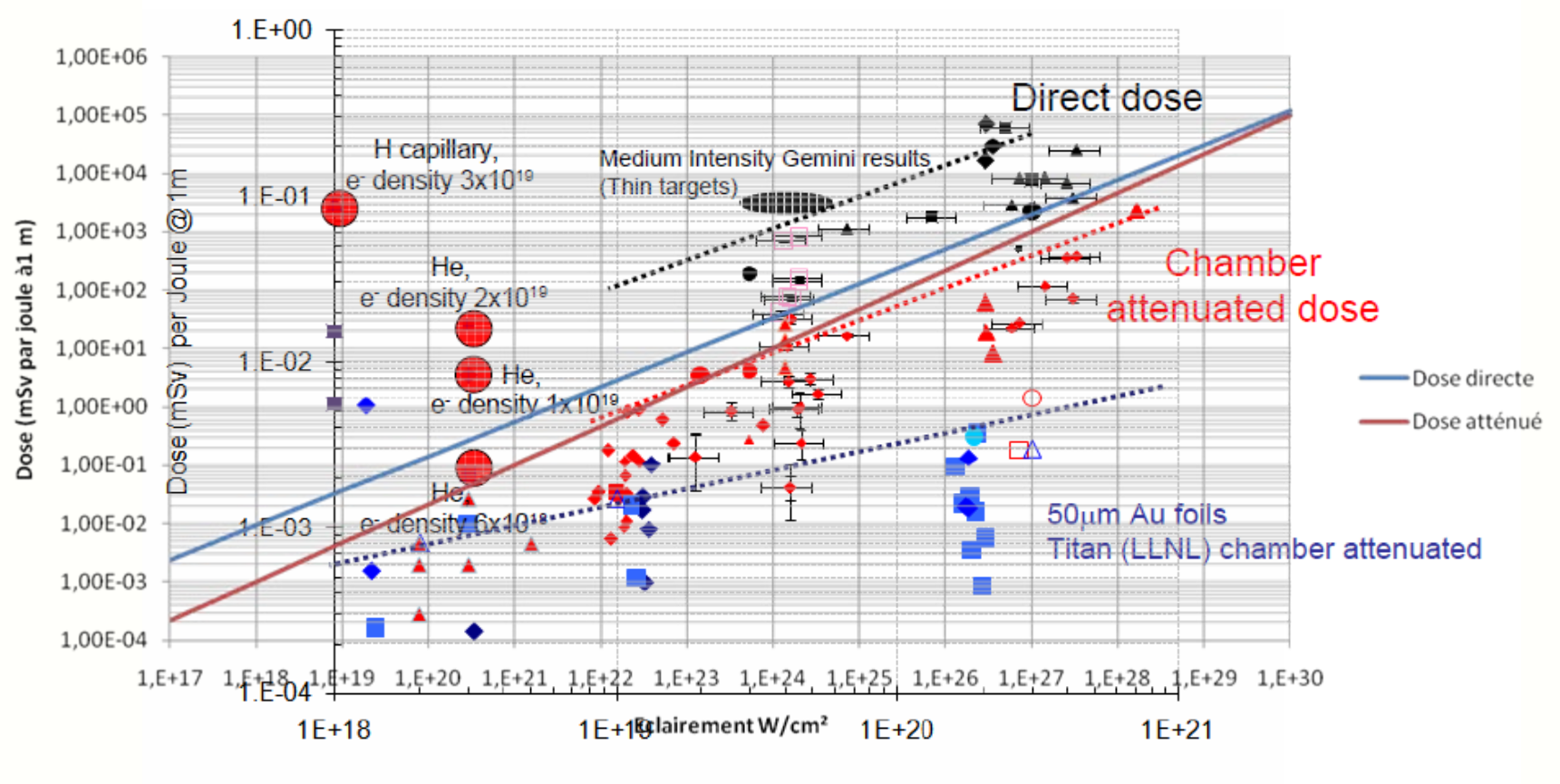
Une installation vaste, stable et dotée d'une radioprotection lourde sur le site de l'orme des Merisier sur le Campus Paris-Saclay





Synthèse des niveaux d'exposition autour des chambres d'expérience

CILEX: Eclairement de 10²⁴ W/cm² soit 4,5 Sv/tir



Intensity W/cm2

R,Clarke and Al



Lasers UHI dans le monde (Puissance >100 TW)





FIN

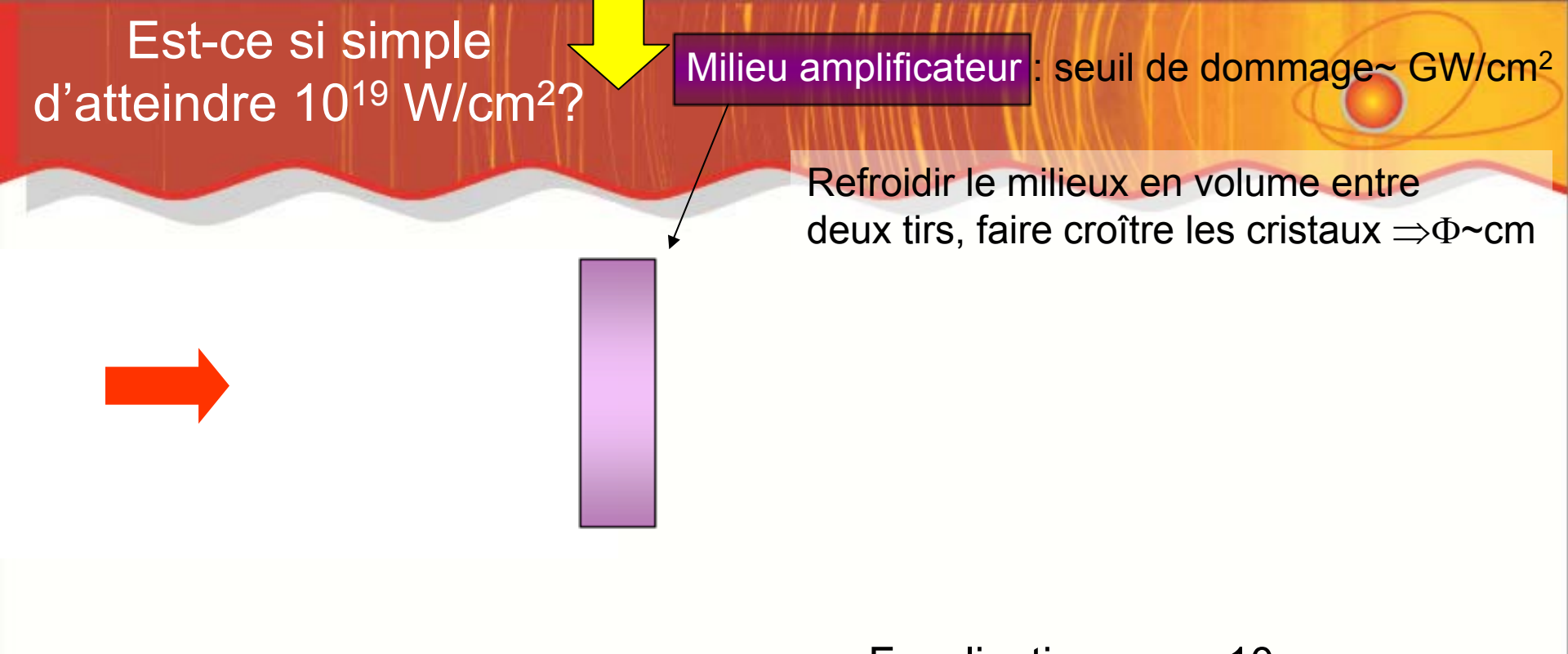


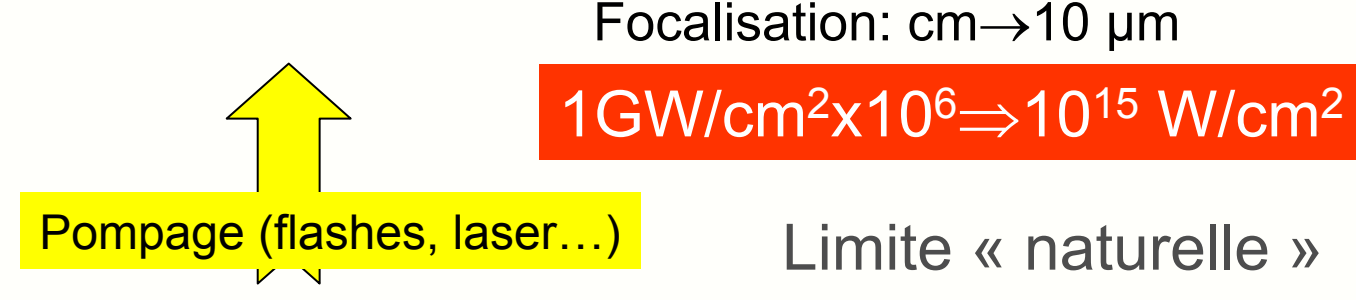
Exploitation

- Contrôle technique d'ambiance
 - Contrôle continue
 - Non pulsé : non possible actuellement
 - Pulsé : Chambre ionisation à haut flux
 - Contrôle différée
 - Réponse en énergie
 - Réponse angulaire
- Surveillance individuelle : classique









Comment amplifier une impulsion sans détruire les milieux amplificateurs ?
Comment délivrer un éclairement élevé sur une cible, en maintenant un éclairement faible dans les milieux amplificateurs ?



Impulsion brève de faible énergie 30 fs nJ

Etirement temporel (x10⁴) 300 ps, nJ

Amplification (X109) 100 ps 3 J

Compression temporelle(/104) 25 fs, 2,5J

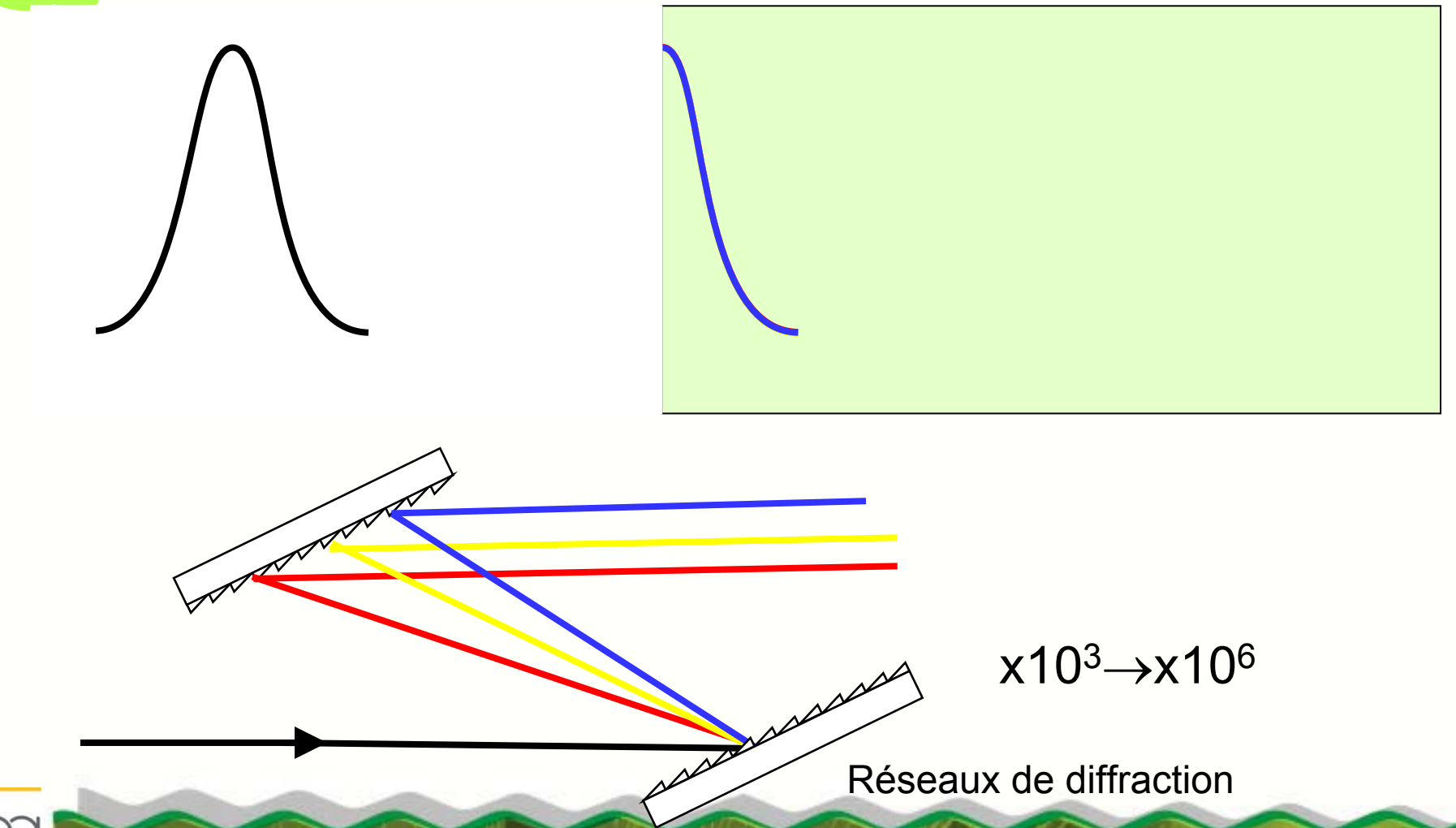
Compression spatiale (/10⁶) 25 fs, 2,5 J, ϕ =10 μ m, I=10¹⁹ W/cm²

Principe de l'amplification d'impulsions à dérive de fréquence



Comment étirer une impulsion laser ?:

⇒ On impose une différence de marche entre les composantes spectrales





Typical laser sizes



A lot of Energy / Long pulses Plasma Physics/ Ignition





Laser diode (telecom)

Suitable for particle generation!

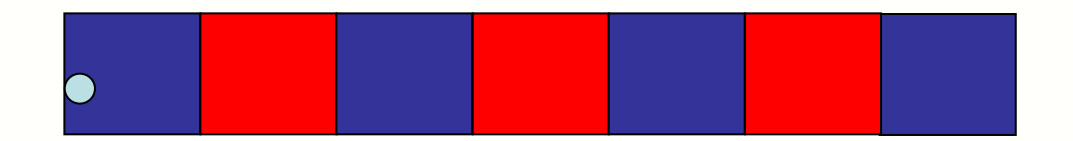


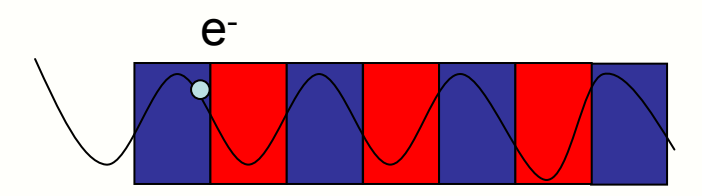
Accélération d'Electrons

Principe de l'accélération d'électrons: Jusqu'à qq MeV: champ électrostatique



Au-delà: champ électrique alternatif haute fréquence





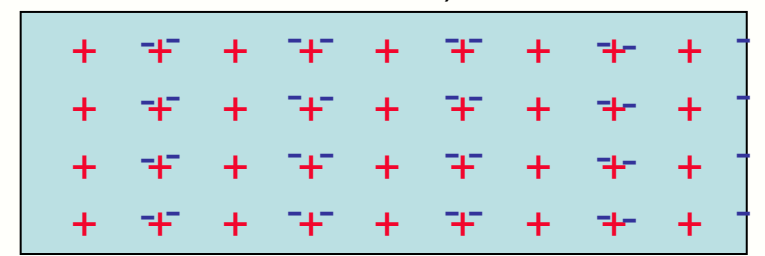
Alternative: champ électrique progressif Vφ=V_e



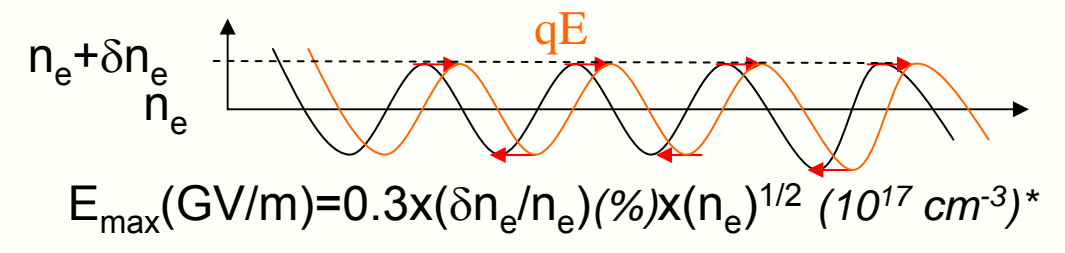
Accélération d'électrons : Principe de l'accélération dans une onde plasma

plasma

On module la densité électronique (facile car durée brève :Les ions sont immobiles)



Densité électronique



- Création d'un champ électrostatique intense

$$\delta n_e$$
=50%, n_e =5x10¹⁸ cm⁻³ \Rightarrow 100GV/m: 100 MeV sur 1 mm,

Champ ultra-intense car milieu « claqué » (accélérateur conventionnel qq10 MV/m)



Monoenergetic beams of relativistic electrons from intense laser-plasma interactions

S. P. D. Mangles¹, C. D. Murphy^{1,2}, Z. Najmudin¹, A. G. R. Thomas¹, J. L. Collier², A. E. Dangor¹, E. J. Divall², P. S. Foster², J. G. Gallacher³, C. J. Hooker², D. A. Jaroszynski³, A. J. Langley², W. B. Mori⁴, P. A. Norreys², F. S. Tsung⁴, R. Viskup³, B. R. Walton¹ & K. Krushelnick¹

High-quality electron beams from a laser wakefield accelerator using plasma-channel guiding

C. G. R. Geddes^{1,2}, Cs. Toth¹, J. van Tilborg^{1,3}, E. Esarey¹, C. B. Schroeder¹, D. Bruhwiler⁴, C. Nieter⁴, J. Cary^{4,5} & W. P. Leemans¹

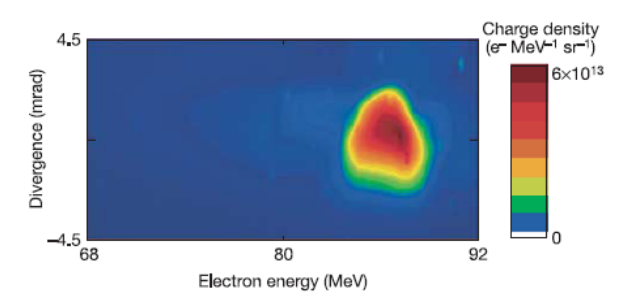


Figure 3 Single-shot electron beam spectrum and divergence of the channel-guided accelerator, showing a bunch containing 2×10^9 electrons in a narrow distribution at 86 ± 1.8 MeV and 3 mrad divergence FWHM with contrast >10:1 above background. This distribution is qualitatively different from the exponential distribution obtained in past (unchannelled) laser acceleration experiments. The magnetic spectrometer consists of a slit 82 cm from the gas jet, a bend of 55° in a dipole magnet to provide dispersion, and a phosphor screen (LANEX Fast backed by an aluminium foil to reject laser light) imaged by a CCD camera. Single-shot energy range is $\pm15\%$ about a central value selectable from 1 to 80 MeV, and resolution is $dE/E=\pm2\%$. The vertical beam size is obtained in the undispersed direction, allowing the simultaneous determination of (vertical) divergence and energy. Since electron beams observed on the phosphor before the magnet were typically round in shape, this vertical divergence measurement is representative.

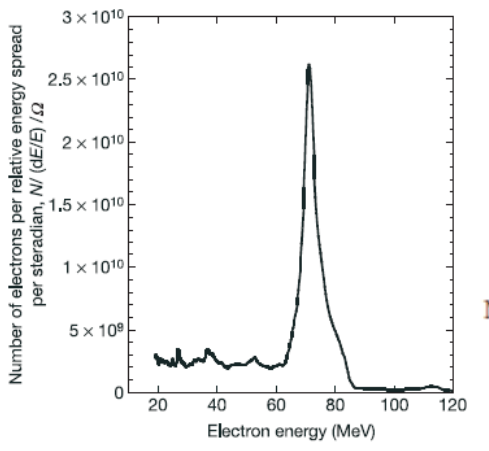




Figure 3 Measured electron spectrum at a density of $2 \times 10^{19} \, \mathrm{cm}^{-3}$. Laser parameters: $E = 500 \, \mathrm{mJ}$, $\tau = 40 \, \mathrm{fs}$, $I \approx 2.5 \times 10^{18} \, \mathrm{W \, cm}^{-2}$. The energy spread is $\pm 3\%$. The energy of this monoenergetic beam fluctuated by $\sim 30\%$, owing to variations in the laser parameters.

A laser-plasma accelerator producing monoenergetic electron beams

NATURE | VOL 431 | 30 SEPTEMBER 2004 J. Faure¹, Y. Glinec¹, A. Pukhov², S. Kiselev², S. Gordienko², E. Lefebvre³, J.-P. Rousseau¹, F. Burqu¹ & V. Malka¹

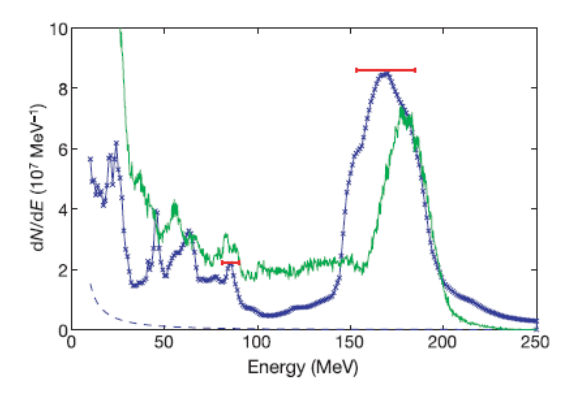
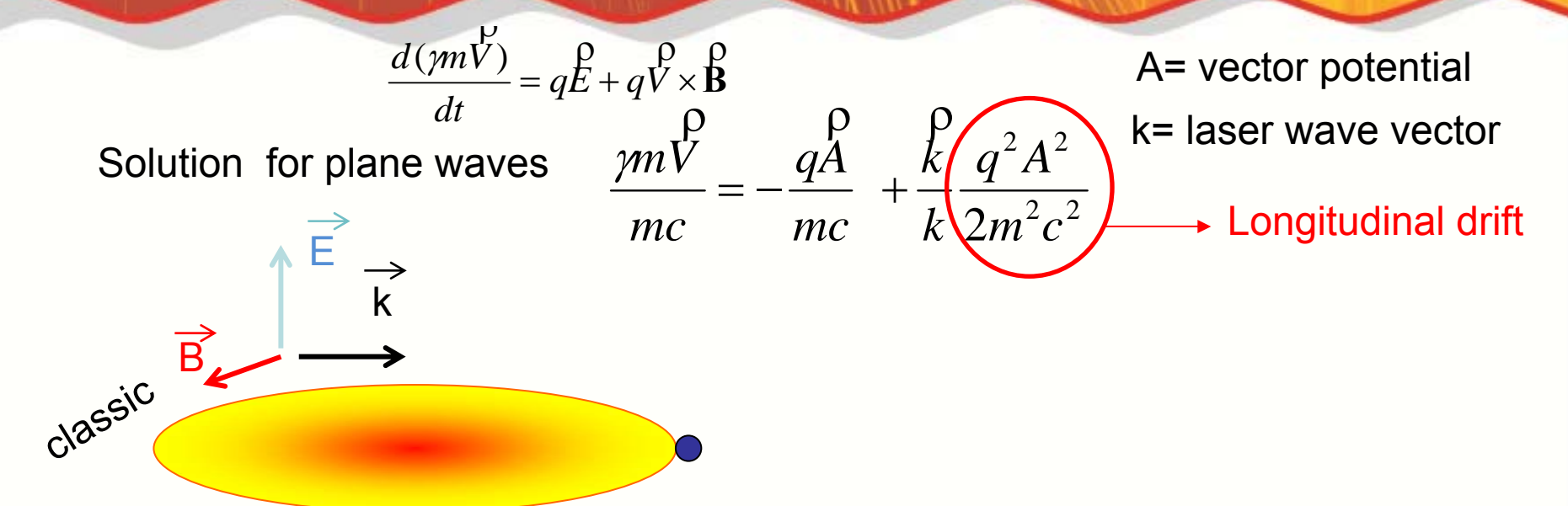


Figure 3 Experimental and simulated electron spectra. Blue line with crosses, electron spectrum corresponding to Fig. 2b, after deconvolution. Dashed line, estimation of the background level. Red horizontal error bars, resolution of the spectrometer. Green line, electron spectrum obtained from 3D PIC simulations. dN/dE is the number of electrons per MeV (E is the electron energy in MeV).

Origine de l'efficacité du transfert d'énergie en régime relativiste



Transverse motion: electrons escape from the laser



Much more energy transfert when F//p



ARRETE ZONAGE

Art. 7. – A l'intérieur de la zone contrôlée, le chef d'établissement délimite, s'il y a lieu, les zones spécialement réglementées ou interdites suivantes :

a)Les zones spécialement réglementées, désignées zones contrôlées jaunes, où la dose efficace susceptible d'être reçue en une heure reste inférieure à 2 mSv et où la dose équivalente (mains, avant-bras, pieds, chevilles) susceptible d'être reçue en une heure reste inférieure à 50 mSv. Pour l'exposition externe du corps entier, le débit d'équivalent de dose ne doit pas dépasser 2 mSv/h;

- b) Les zones spécialement réglementées, désignées zones contrôlées orange, où la dose efficace susceptible d'être reçue en une heure reste inférieure à 100 mSv et où la dose équivalente (mains, avant-bras, pieds, chevilles) susceptible d'être reçue en une heure reste inférieure à 2,5 Sv. Pour l'exposition externe du corps entier, le débit d'équivalent de dose ne doit pas dépasser 100 mSv/h;
- c) Les zones interdites, désignées zones rouges, où les doses efficaces ou équivalentes susceptibles d'être reçues en une heure ou le débit d'équivalent de dose sont égaux ou supérieurs à l'une des valeurs maximales définies pour les zones orange.

